

3 - 7 関東地方の地殻変動

Crustal Movement in the Kanto District

国土地理院

Geographical Survey Institute

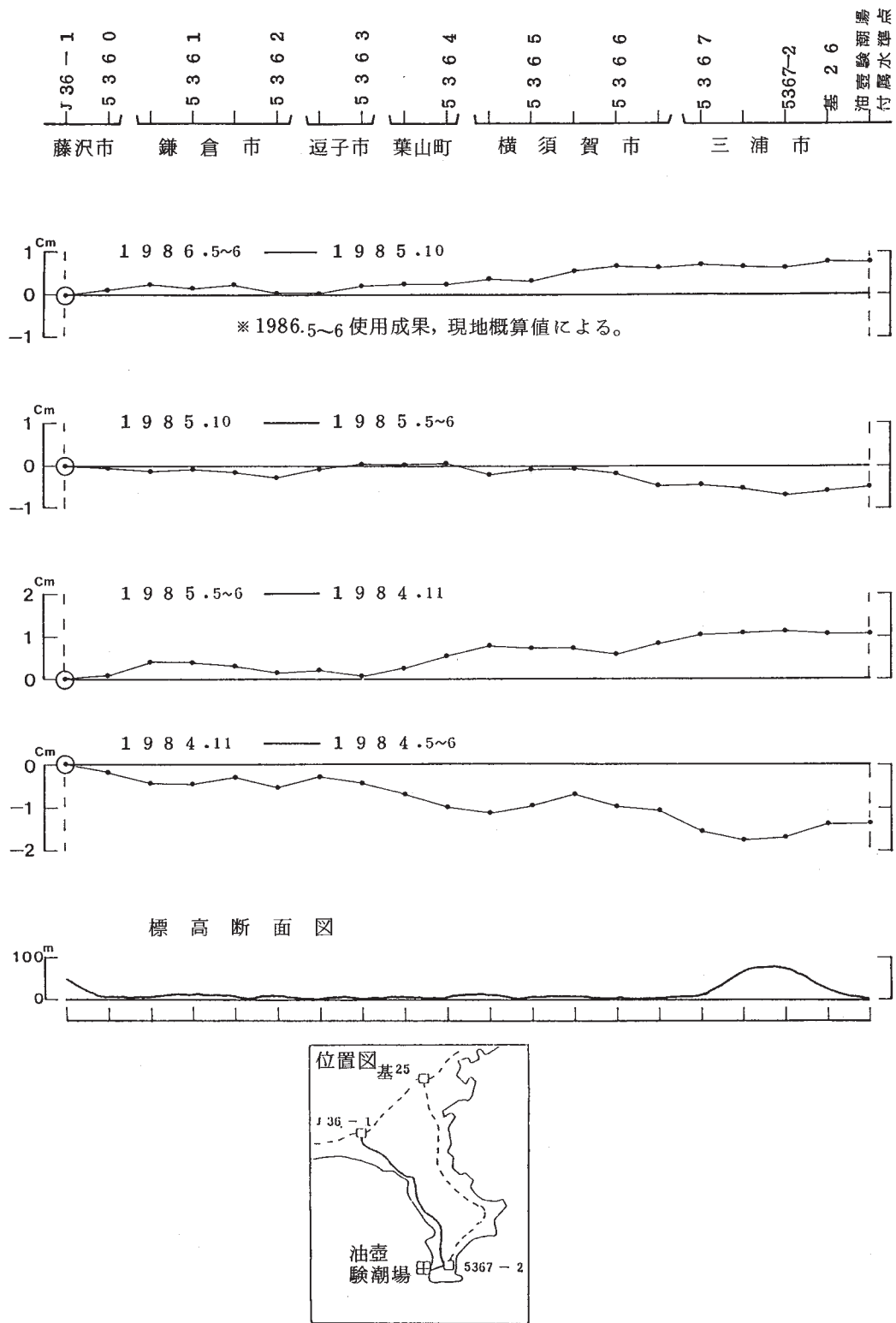
第1図は三浦半島西岸の、第2図は房総半島先端部の水準測量結果である。何れも冬季に地殻が沈下し、夏季に隆起するという季節的変動のパターンを示している。房総半島先端部では振幅が大きく、同じ季節で比較しないと見掛けの変動が現れる。

第3図、第4図は油壺、勝浦、布良験潮場の月平均潮位及び潮位差である。

第5図は三鷹菱形基線、第6図は上福岡放射基線、第7図は鹿野山放射基線の測量結果であるが、測量誤差以上の変動はみられない。

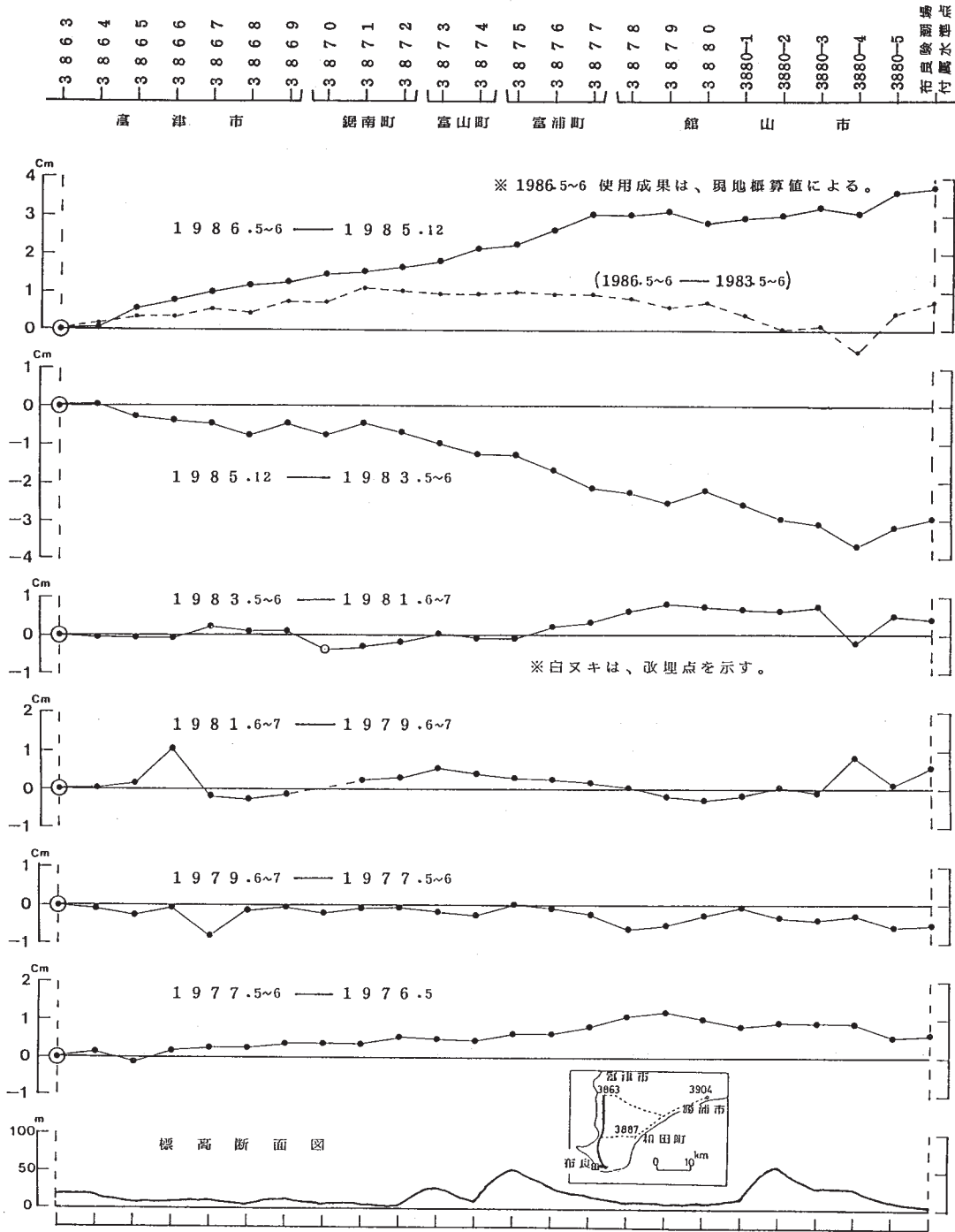
参 考 文 献

- 1) 国土地理院：関東地方の上下変動，連絡会報，**33** (1985)，144-155.
- 2) 国土地理院：関東地方南部の地殻変動，連絡会報，**34** (1985)，138-156.
- 3) 国土地理院：関東地方の地殻変動，連絡会報，**35** (1986)，153-158.
- 4) 国土地理院：関東地方の地殻変動，連絡会報，**36** (1986)，102-127.



第1図 藤沢~三浦間の上下変動

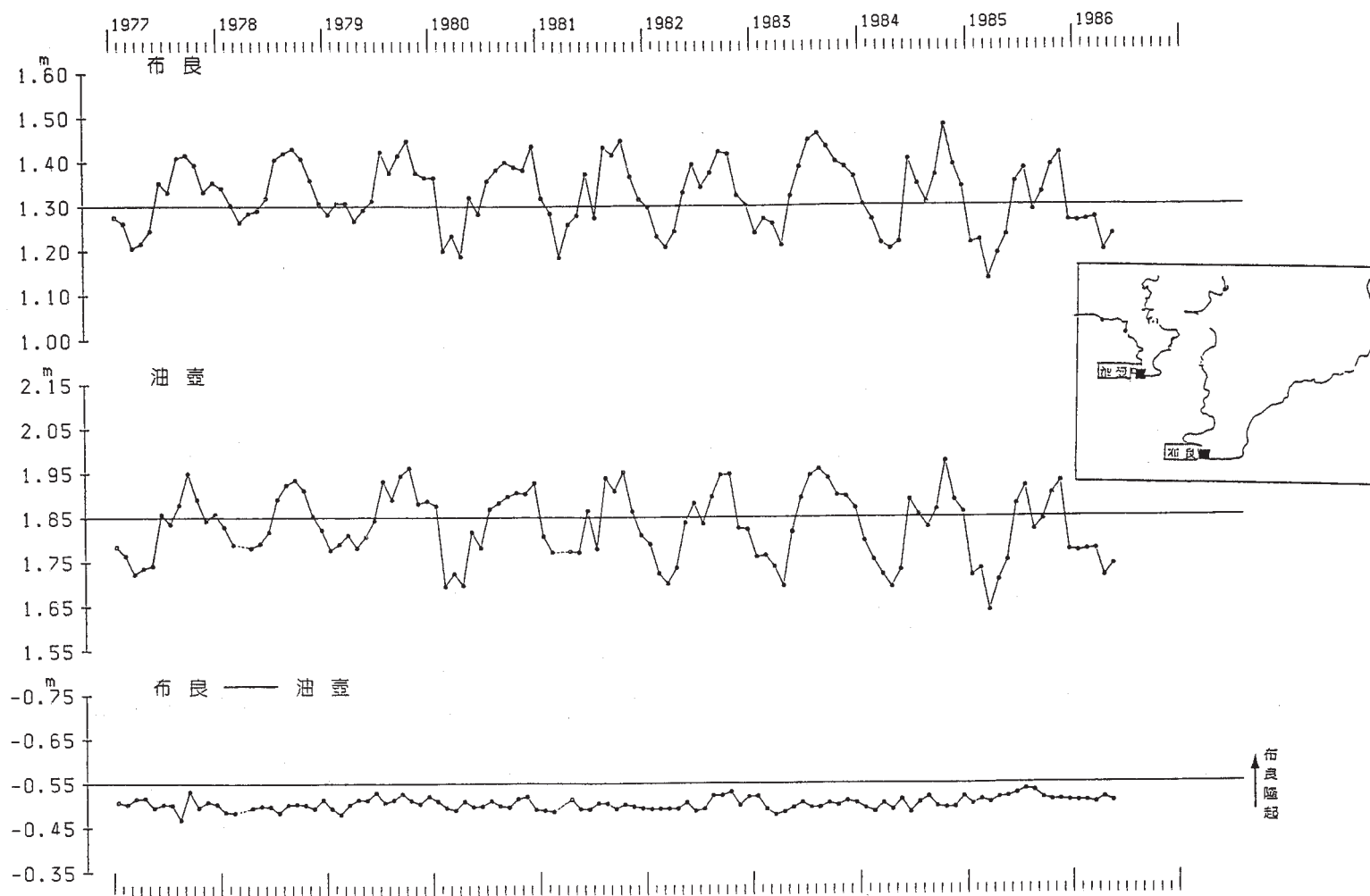
Fig. 1 Level changes along the route from Fujisawa to Miura.



第2図 富津～館山間の上下変動

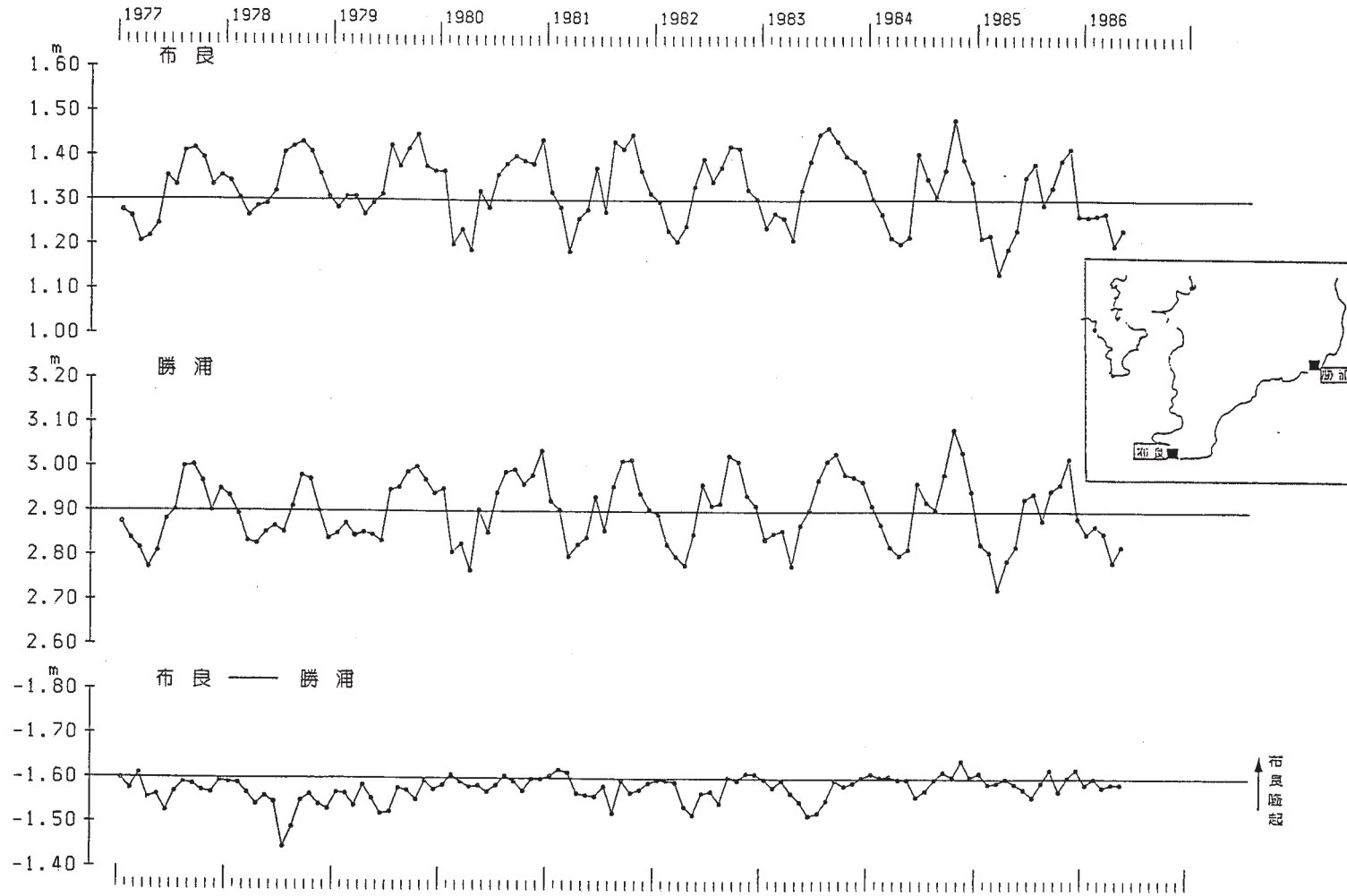
Fig. 2 Level changes along the route from Futtsu to Tateyama.

海軍測量検知センター
「潮位年報」による。



第3図 布良，油壺験潮場の月平均潮位及び潮位差

Fig. 3 Monthly mean sea level at the Mera and Aburatsubo tidal stations, and difference in monthly mean sea level between them.

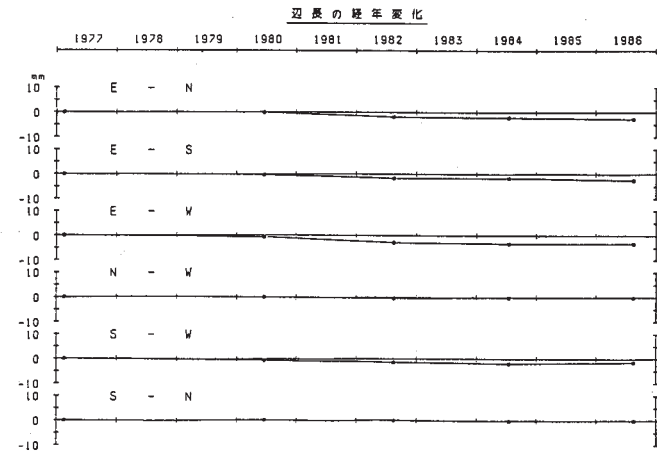


第4図 布良，勝浦験潮場の月平均潮位及び潮位差

Fig. 4 Monthly mean sea level at the Mera and Katsuura tidal stations, and difference in monthly mean sea level between them.

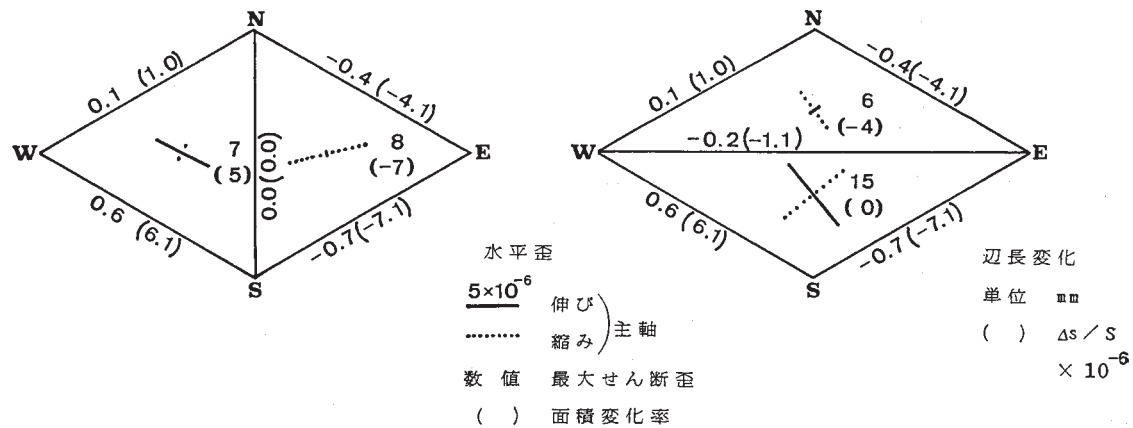
測定年 区 間	1 1977.02	2 80.06	3 82.08	4 84.07	5 86.08	5-1	5-2	5-3	5-4
E - N	100.0004 ^m	100.0002 ^m	100.9985 ^m	100.9982 ^m	100.9978 ^m	-2.6 ^{mm}	-2.4 ^{mm}	-0.7 ^{mm}	-0.4 ^{mm}
E - S	100.0017	100.0013	100.0000	100.0000	100.9993	-2.4	-2.0	-0.7	-0.7
E - W	173.2059	173.2051	173.2030	173.2026	173.2024	-3.5	-2.7	-0.6	-0.2
N - W	100.0008	100.0008	100.0003	100.0006	100.0007	-0.1	-0.1	0.4	0.1
S - W	100.0004	100.9998	100.9990	100.9985	100.9991	-1.3	-0.7	0.1	0.6
S - N	100.0018	100.0018	100.0016	100.0016	100.0016	-0.2	-0.2	0.0	0.0

測器：メコメーター ME 3 0.0 0



水 平 歪 及 び 辺 長 変 化

1986.8 ——— 1984.7



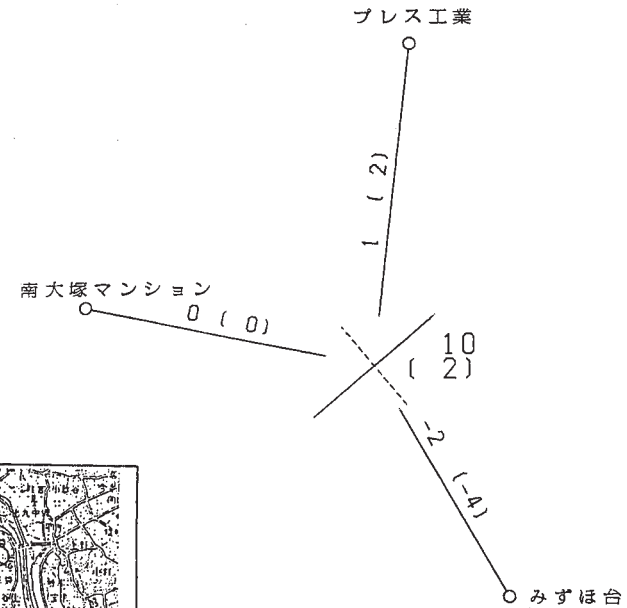
第 5 図 三鷹菱形基線精密変歪測量結果

Fig. 5 Results of precise distance measurements at the Mitaka Rhombus Base Lines.

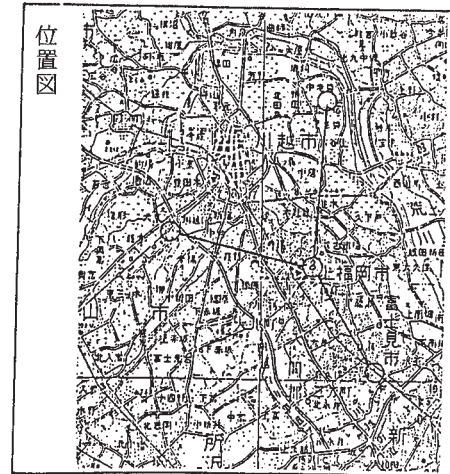
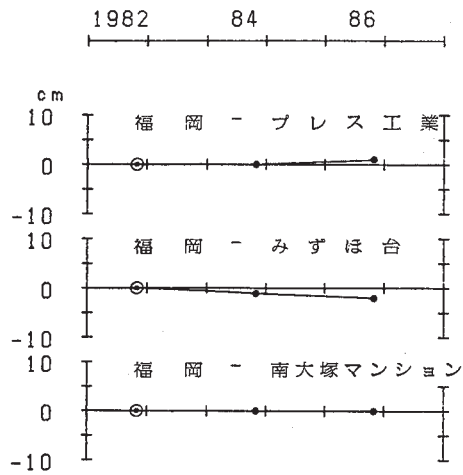
水平歪及び辺長変化

測定年 区 間	1	2	3	3-1	3-2
	1982.10	84.10	85.10		
福岡—プレス工業	6557.30 ^m	30 ^m	31 ^m	1 ^{cm}	1 ^{cm}
福岡—みずほ台	5408.97	.96	.95	-2	-1
福岡—南大塚マンション	5940.49	.49	.49	0	0

1986.10 - 1982.10



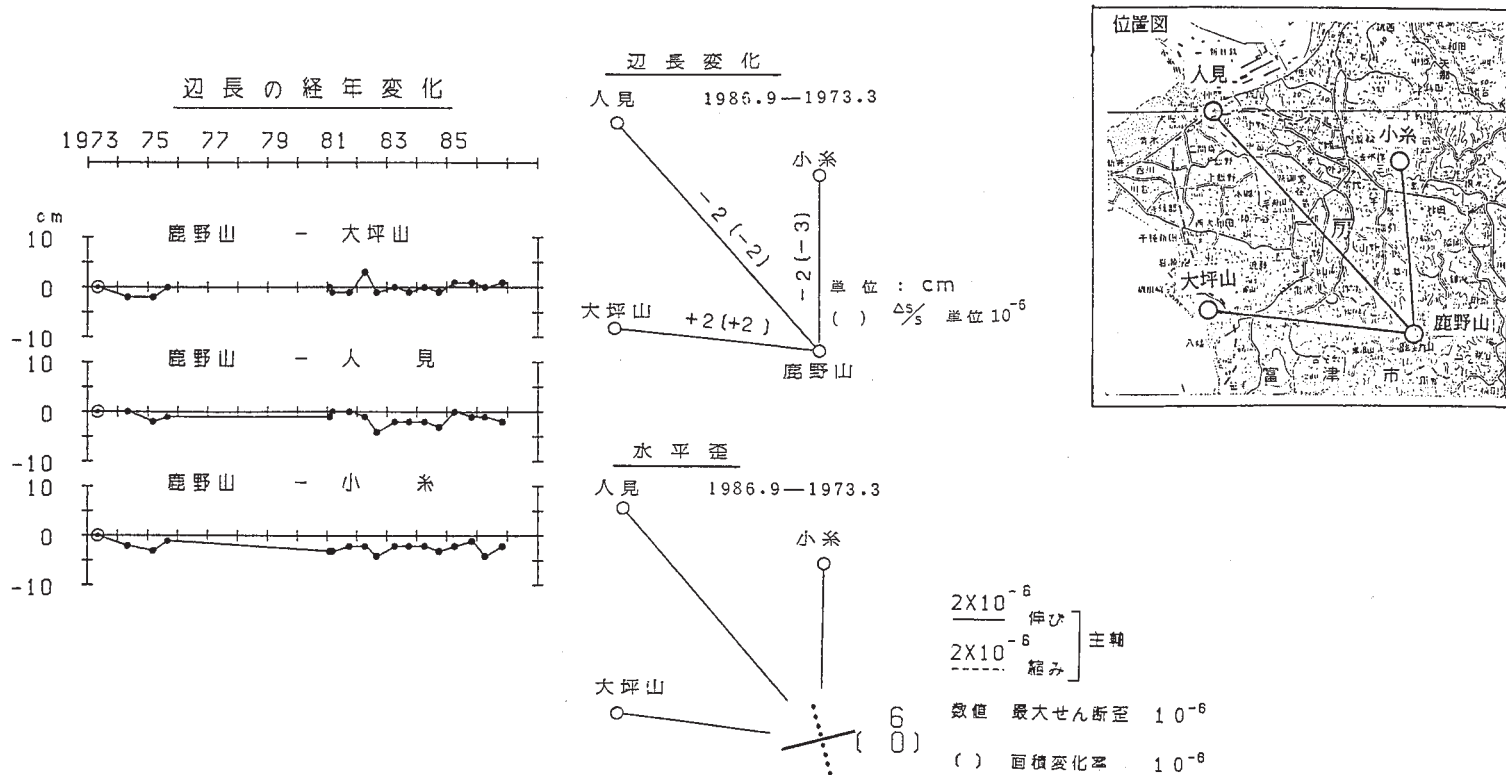
単位 cm
() $\Delta S/S$ 単位 10^{-6}
 2×10^{-6} 伸び } 主軸
 2×10^{-6} 縮み }
 数値 最大せん断歪 10^{-6}
 () 面積変化率 10^{-6}



第6図 上福岡放射基線精密変歪測量結果

Fig. 6 Results of precise distance measurements at the Kami-Fukuoka Radial Base Lines.

測定年月 区 間	1973	74	75	75	80	81	81	82	82	83	83	84	84	85	85	86	86
	. 3	. 3	. 1	. 7	. 12	. 1	. 8	. 2	. 7	. 2	. 8	. 2	. 8	. 2	. 9	. 2	. 9
鹿野山 — 大坪山	8194. ^m 88	^m .86	^m .86	^m .88	^m .88	^m .87	^m .87	^m .91	^m .87	^m .88	^m .87	^m .88	^m .87	^m .89	^m .89	^m .88	^m .89
鹿野山 — 人見	12152.59	.59	.57	.58	.58	.59	.59	.58	.55	.57	.57	.57	.56	.59	.58	.58	.57
鹿野山 — 小糸	7032.70	.68	.67	.69	.67	.67	.68	.68	.66	.68	.68	.68	.67	.68	.69	.66	.68



第7図 鹿野山放射基線精密変歪測量結果

Fig. 7 Results of precise distance measurements at the Kanozan Radial Base Lines.